

# Криогенная система фазовой автоподстройки частоты для сверхпроводникового генератора гетеродина

© А.В. Худченко, В.П. Кошелец, П.Н. Дмитриев, А.Б. Ермаков

Проведено усовершенствование криогенной системы фазовой автоподстройки частоты, позволившее снизить уровень фазовых шумов на частотах менее 100 кГц..

**Ключевые слова:** сверхпроводник, криогенные температуры, генератор.

Результаты, полученные при реализации концепции криогенной системы фазовой автоподстройки частоты (криоФАПЧ) [1 – 3], требуют дальнейшего ее усовершенствования. КриоФАПЧ на основе криогенного фазового детектора [1, 3] предназначена для фазовой стабилизации частоты генератора гетеродина сверхпроводникового интегрального приемника (СИП) субММ-диапазона длин волн [4, 5]. Микросхема СИП содержит планарную антенну, интегрированную со смесителем, основанном на туннельном переходе «сверхпроводник – изолятор – сверхпроводник» (СИС), сверхпроводниковый генератор гетеродина (СГГ) на распределенном джозефсоновском переходе, а также второй СИС-переход – гармонический смеситель (ГС), используемый в системе синхронизации СГГ [6].

Чем шире полоса синхронизации (BW) ФАПЧ, тем большая часть мощности СГГ будет синхронизована. Процент мощности, синхронизованной в центральном пике спектра СГГ, называется спектральным качеством (СК). Остальная же часть мощности дает вклад напрямую в фазовые шумы приемника. СК тем больше, чем шире BW ФАПЧ. Оценки показывают, что для расширения частотного диапазона СИП до 1 ТГц за счет использования пленок NbN либо NbTiN (что может приводить к уширению линии СГГ) и использования СИП в интерферометрии, где требуется высокая фазовая стабильность, необходима система ФАПЧ с  $BW > 50$  МГц [2].

Полупроводниковая комнатная система ФАПЧ имеет  $BW = 12$  МГц [6]. Задача увеличения BW решалась путем создания принципиально новой системы КриоФАПЧ, на основе туннельного СИС-перехода [1 – 3]. Поставленная цель достигается тем, что все элементы петли КриоФАПЧ помещены вблизи СГГ внутри криостата и работают при  $T = 4,2$  К, что позволяет избежать температурных перепадов в петле и минимизировать ее длину, существенно уменьшив задержки и увеличив тем самым BW системы. Для последней реализации криоФАПЧ длина петли сокращена до 50 см, что соответствует задержке 2,5 нс (рис. 1). Рабочая частота криоФАПЧ была повышена до 4 ГГц, что позволило снизить задержку в фильтре петли до 0,5 нс за счет использования реактивных элементов с меньшим номиналом. Проведенные изменения привели к увеличению BW до 40 МГц (рис. 2). Увеличение уровня фазового шума при большой отстройке от несущей (например, при смещении на 35 – 40 МГц от опоры для криоФАПЧ) типично для систем ФАПЧ. Сигнал на этой частоте изменяет свою фазу на  $\pi$  при прохождении по петле, что приводит к усилению фазового шума вместо его подавления. В результате получается пик фазовых шумов, который помогает оценить BW системы. Из рис. 2 видно, что рост BW приводит к расширению частотного диапазона, в котором фазовые шумы фазовосинхронизированного СГГ ниже уровня СГГ в автономном режиме генерации, и уменьшает общую долю этих шумов. Для СГГ с шириной линии 2 МГц данная криоФАПЧ способна синхронизировать 94 % мощности, в то время как полупроводниковая комнатная ФАПЧ дает лишь 82 %. Пре-восходство криоФАПЧ становится еще более заметным для линии шириной около 11 МГц, где криоФАПЧ дает СК = 63 %, а комнатная система лишь около 20 %.

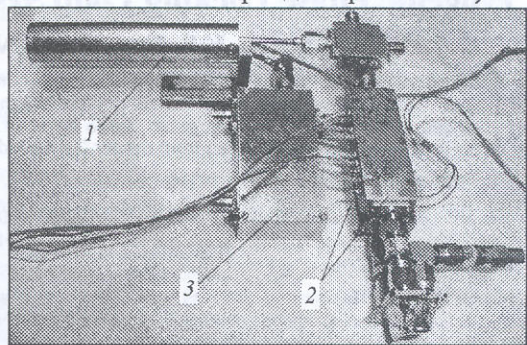
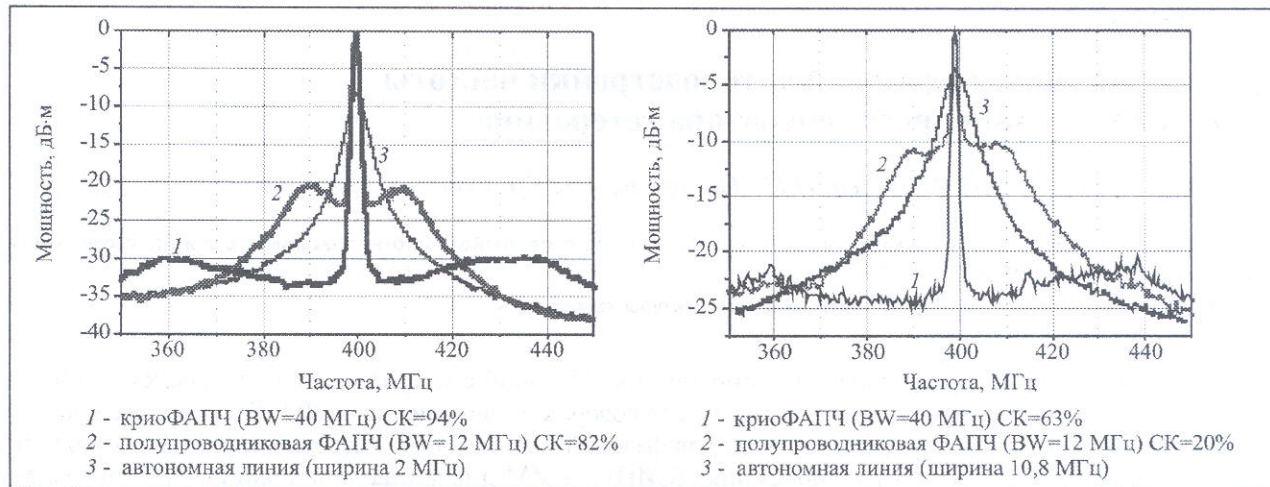


Рис.1. Фото криоФАПЧ элементами петли: 1 – магнитный экран, содержащий СГГ и гармонический смеситель; 2 – НЕМТ усилители; 3 – коробка с КФД и фильтром (длина петли 50 см)



**Рис. 2.** Преобразованные вниз по частоте спектры ФГГ: кривая 1 – фазосинхронизованный криогенной системой ФАПЧ; кривая 2 – фазосинхронизованный комнатной системой ФАПЧ; кривая 3 – автономная частотно-стабилизированная линия СГГ

КриоФАПЧ в предыдущих реализациях была пассивной системой ФАПЧ 1-го порядка и требовала наличие системы стабилизации частоты СГГ. Для повышения стабильности работы системы был реализован петлевой интегрирующий фильтр. Использование фильтра позволило также существенно снизить уровень фазовых шумов на частотах менее 100 кГц.

*Работа поддержана частично грантами РФФИ 06-02-17206, МНТЦ № 3174, программой «NATO – Наука во имя мира» 981415 и президентским грантом для ведущих научных школ НШ 5408.2008.2.*

## Литература

- Худченко А.В., Кошелец В.П., Дмитриев П.Н., Ермаков А.Б. Криогенный фазовый детектор. – Радотехника и электроника, 2008, т. 53, № 5, с. 624 – 629.
- Khudchenko A.V., Koshelets V.P., Dmitriev P.N., Ermakov A.B., Pylypenko O.M., Yagoubov P.A. Cryogenic Phase Locking Loop System for Flux-Flow Oscillator*, presented at the 19th International Symposium on Space Terahertz Technology (ISSTT-08), Groningen, the Netherlands, April 2008, report P7-7, Program and Abstract book, p. 141.
- Khudchenko A.V., Koshelets V.P., Dmitriev P.N., Ermakov A.B., Yagoubov P.A., Pylypenko O.M. Cryogenic Phase Detector for Superconducting Integrated Receiver*. – IEEE Trans. on Appl. Supercond., 2007, vol. 17, pp. 606 – 608.
- Koshelets V.P., Shitov S.V. Integrated Superconducting Receivers*, Superconductor Science and Technology, 2000, vol.13, no.5, pp. R53-R69.
- Koshelets V.P., Shitov S.V., Filippenko L.V., Baryshev A.M., Golstein H., de Graauw T., Luinge W., Schaeffer H., van de Stadi H. First Implementation of a Superconducting Integrated Receiver at 450 GHz*. – Appl. Phys. Lett., 1996, vol. 68, p. 1273.
- Koshelets V.P., Dmitriev P.N., Ermakov A.B., Sobolev A.S., Torgashin M.Yu., Kurin V.V., Pankratov A.L., Mygind J. Optimization of the Phase-Locked Flux-Flow Oscillator for the Submm Integrated Receiver*. – IEEE Trans. on Appl. Supercond., 2005, vol.15, pp. 964-967.

## Cryogenic Phase Locking Loop System for Superconducting Local Oscillator

© A.V. Khudchenko, V.P. Koshelets, P.N. Dmitriev, A.B. Ermakov

Cryogenic phase locking loop system with operation frequency 4 GHz and the loop length about 50 cm has been realized. The total time delay in the loop is about 4.5 ns that results in a CPLL synchronization bandwidth as much as 40 MHz. The integrating filter is placed in the loop after a cryogenic phase detector. Such a filter allows to realize a holding mode and leads to decreasing a phase noise level at frequency offset from carrier 0 – 100 kHz.

**Keywords:** superconductor, cryogenic temperature, local oscillator

Худченко Андрей Вячеславович (1984 г.р.) – аспирант МФТИ.

Научные интересы: радиофизика, электроника.

E-mail: khudchenko@hitech.cplire.ru

Кошелец Валерий Павлович (1950 г.р.) – докт. физ.-мат. наук, зав.лабораторией ИРЭ им. В.А.Котельникова РАН.

Научные интересы: сверхпроводниковая электроника, квантовые приемники и генераторы миллиметровых волн, интегральные сверхпроводниковые структуры.

Дмитриев Павел Николаевич (1968 г.р.) – научн. сотр. ИРЭ им. В.А.Котельникова РАН.

Научные интересы: сверхпроводниковая электроника, изготовление интегральных сверхпроводниковых структур

Ермаков Андрей Борисович (1960 г.р.) – канд. физ.-мат. наук, старший научн. сотр. ИРЭ им. В.А.Котельникова РАН.

Научные интересы: сверхпроводниковая электроника, интегральные сверхпроводниковые структуры, автоматизированные системы измерений.